

## II-75 法面上の波の越上機構に関する実験的研究

京都大学防災研究所 正員 岩垣 雄一

" " 井上 雅夫

京都大学大学院 学生員 大堀 晃一

### 1. 緒言

海岸堤防を合理的に設計するには、波の越上高や越波量を適確に推定することは必要であり、そのためには、法面上の波の越上や越波の機構を十分に把握しなければならない。従来、波の越上に関する多くの実験的研究があるが、最近、理論的研究もかなり進んでいます。しかし、従来の実験的研究の成果は波高と越上高との直接的な関係を示すものでなく、また、理論的研究も多くの仮定と複雑な計算を必要とし、決して実用的なものではない。そこで、著者らは、波の越上機構を解明するため、孤立波と周期波による実験を行ない、従来の理論的研究との比較を試みた。

**2. 実験装置および実験方法：** 実験に用いた水槽は、長さ 21.6m、幅 0.75m、深さ 1.02m の両面ガラス張りのもので、その一端には気圧式造波機があり、他端が 1/10 勾配の斜面上に、さらには、勾配可変の法面を設置した。孤立波は水槽端と 2 枚の板で仕切り、その間に貯水し、前方の板を急に開くことによって発生させた。法面を越上する波の状況は 16mm カメラによつて 1sec 当たり 24, あるいは 32 枚で撮影し、法面には 2cm 間隔のネオニランに接続した電極を取りつけ、その点滅を含めて、撮影した。それらはフィルモーションアナライザで解析した。実験波の特性は、孤立波については、水槽水平部分の水深  $h_k$  を 22cm、波高  $H$  は 2~16cm とし、周期波については、 $h_k$  を 42.9cm、周期 1.48sec、波高  $H$  は 0.6~12cm とした。法面の洗浄水深は常に 0 で、法面勾配は、孤立波の場合には、1/10, 1/5, 1/4, 1/3, 1/2, 1/1, 2/1, 3/1 および鉛直とし、周期波の場合には、1/10, 1/6, 1/5, 1/4, 1/3, 1/2, 1/1 および 2/1 とした。

**3. 実験結果とその考察：** 孤立波の場合には、波が汀線近くに達すると、その前面はほぼ鉛直になり、その後は波の峰が先に進むか法面上に落下する。一方、周期波の場合には、汀線よりかなり沖側で碎れ、その後急激に波高を減少して汀線に達するので、汀線附近での波高と進行速度とを精度よく測定することは困難である。

図-1 は孤立波について、水槽水平部における波高と水深との比

$H/h_k$  と、波の先端からちょうど汀線に達したときの先端の速度  $w_t$  と  $w_{t+2C_{ut}}$  との比  $w_t/\sqrt{gh_k} (=W_t)$  (suffix  $t$  は造波を示す) との

関係および、波が汀線に達したときの静水面からの峰の高さ  $w_{t+2C_{ut}}$

と  $w_t$  との比の平方根  $\sqrt{w_{t+2C_{ut}}/h_k} (=C_{ut})$  との関係を求め、さらに、

これらから、 $H/h_k$  と  $w_t + 2C_{ut}$  との関係を求めたものである。

波が汀線に達するとき、これを一定段波とみなすと、その前面

水深は 0 であるから、 $w_t$  はその点での流速  $U_t$  にはほとんど等しく、

$U_t$  の代りに  $w_t$  を用いることにす。

Freeman-Méhauté によると、段波は汀線を通過し、梯級波に変わる。そのとき、法面上での摩擦を無視すると、 $w_t + 2C_{ut}$  はすべて速度成分  $u_{st}$  (suffix

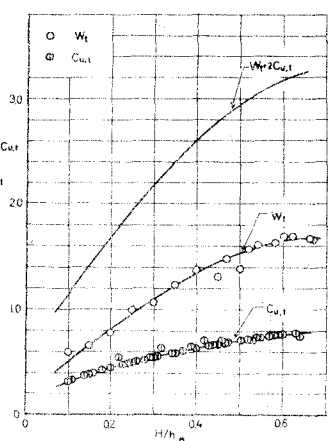


図-1  $W_t$ ,  $C_{ut}$  および  $W_t + 2C_{ut}$  と  $H/h_k$  との関係

$S$  は法面上をあらわす) に変換され、海上高  $R$  は  $R/h_* = U_{S,t}^2/2gh_* = (W_t + 2C_{u,t})^2/2gh_*$  となる。この  $R/h_*$  と  $(W_t + 2C_{u,t})/\sqrt{gh_*}$  との関係を示したもののが図-2 であり、直線の勾配は 1 ばかりであり、 $(W_t + 2C_{u,t})^2$  に比例するといふのがわかる。海上高は勾配が急で急に増加するが、勾配が鈍直でも、土の実験式が得られる海上高より若干小さく、摩擦その他の損失の影響は無視できないといふのがわかる。摩擦を考慮に入れると、端薄波の先端の形状は放物線形となるが、これを鈍直とし、先端では、 $C_s = a U_s$  ( $a$  は 0.5 あまり小さい定数) とすれば、 $W_t + 2C_{u,t} = U_{S,t} + 2C_{s,t} = (1+2a) U_{S,t}$  となる。 $U_{S,t}$  と  $W_t + 2C_{u,t}$  あるいは  $W_t$  との関係を示したのが図-3 であり、 $U_{S,t}$  は  $W_t$  よりかなり大きさ。また、こうした図を利用して  $a$  の値を推定し、勾配  $S$  と  $a$  の関係を図-4 に示す。 $a$  の値は、この場合は一定値であるといふのがわかる。

図-5 は  $R/h_*$  と  $U_{S,t}$  との関係で、周期波についても示したもので、 $R/h_*$  は  $U_{S,t}^2/2gh_*$  より大きさといふのがわかる。Freeman-Méhauté によると、摩擦を考慮した場合の先端付近の特性曲線より求めた海上高は  $R/h_* = (U_{S,t}/2gh_*) \times (1+2a)(1+a)/(1+f/5a^2)$  ( $f$  は底面の摩擦係数) であり、 $a$  が大きさは  $b$  で、同じ  $U_{S,t}$  の値に対して、海上高が大きくなることがわかる。鈍直の場合 ( $S=\infty$ ) には、図-4 から  $a$  の値は 0.26 であり、この値を  $(1+2a)(1+a)/(1+f/5a^2)$  に代入すると 1.92 となる。また、図-5 から 鈍直の場合について、この値を求めると 1.92 となり、まったく一致する。

このことから、端波から、端薄波への変換は理論通りにあらわれたと考えられる。図-5 をもとにして、すべての勾配について、 $(1+f/5a^2)/(1+2a)(1+a)$  の値を求め、この値から、 $f$  の値を推定すると、0.005 ～ 0.01 の間にある。また、上の図には、周期波の場合についても同時にプロットしてある。周期波の実験値は散乱してあるのでよくわからないが、一方、孤立波の場合と同じ傾向がみられる。すなばく求めた  $(1+2a)(1+a)/(1+f/5a^2)$  の値を用い、 $U_{S,t}$  の値を算定、先端の軌跡を計算して、実験値と比較したのが図-6 である。この図は、理論値と実験値とがかなりよく一致しており、このことは、以上に述べた考え方の妥当性を示すものと思われる。以上、著者らは、波の海上構造について考察を行ない、孤立波の場合でも、周期波の場合でも、端勾配が急な場合には波の先端の特性曲線のみで海上構造が説明できることを示した。最後に、本研究の実験や資料整理に助力してくれた太田隆義君に謝意を表す。なお、この研究は特需研究費による研究の一部であることを図-6  $X_S$  と  $T$  の関係と付記する。

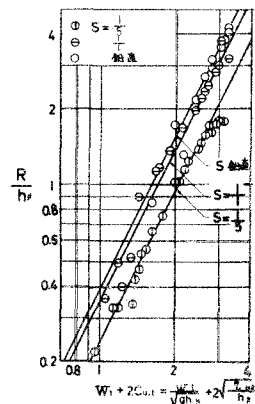


図-2  $R/h_*$  と  $W_t + 2C_{u,t}$  との関係

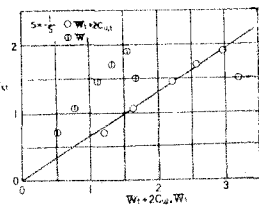


図-3  $W_t + 2C_{u,t}$  および  $R/h_*$  と  $W_t$  の関係

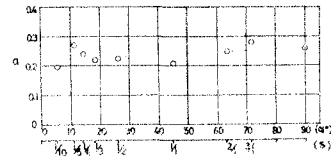


図-4  $a$  と  $S$  との関係

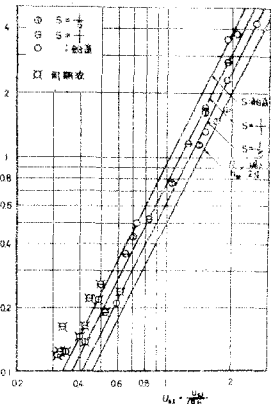


図-5  $U_{S,t}$  と  $R/h_*$  との関係